

Accélération du calcul de la désorientation cristalline

Juillet 2024

Encadrant : Henry Proudhon. Participants : Esteban DAUDE, Valentin DEUMIER, Sioban NIERADZIK-KOZIC, Nathan RAPIN

Introduction

Orientation cristalline et EBSD

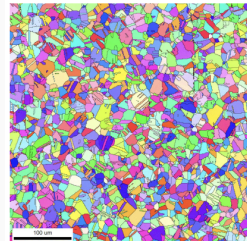
Les outils mathématiques

Implémentation

Introduction : présentation du sujet



Pymicro : librairie Python



Images par diffraction d'électrons rétrodiffusés d'un échantillon d'acier forgé.

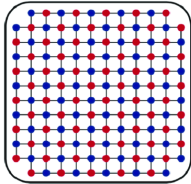
Introduction

Orientation cristalline et EBSD

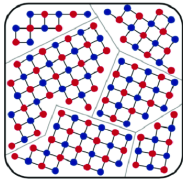
Les outils mathématiques

Implémentation

Orientation et désorientation cristalline



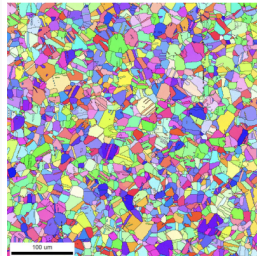
Crystalline



Polycrystalline

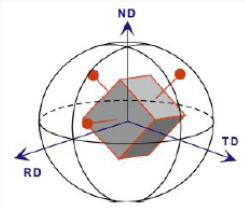


Aube de turbine monocristalline



Images par diffraction d'électrons rétrodiffusées d'un échantillon d'acier forgé.

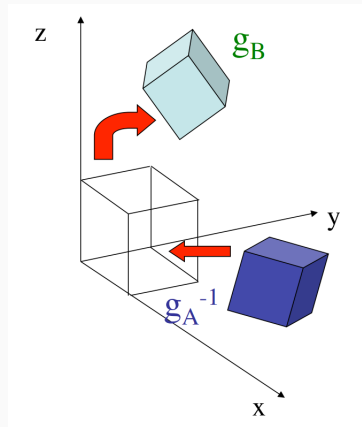
Orientation et désorientation cristalline



Orientation d'un cristal par rapport au référentiel de l'échantillon



Description de l'orientation de grains



Désorientation cristalline : différence d'orientation entre deux cristaux ou grains adjacents dans un matériau polycristallin

Importance de l'orientation cristalline

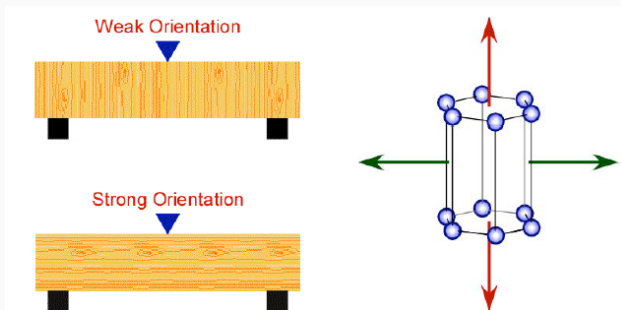
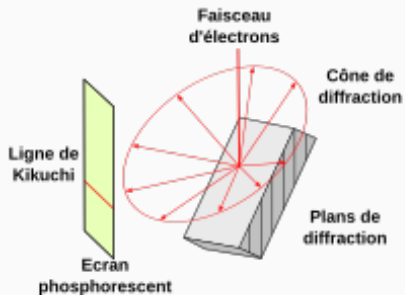
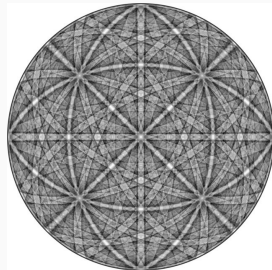


Illustration de l'anisotropie

EBSD: Mesurer l'orientation

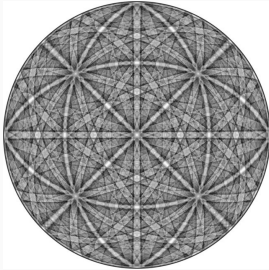


EBSD Setup

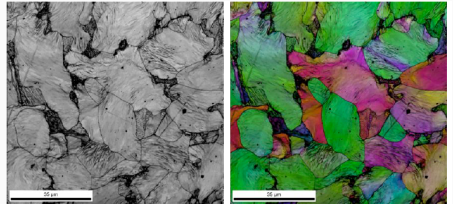


Lignes de Kikuchi

EBSD: Mesurer l'orientation

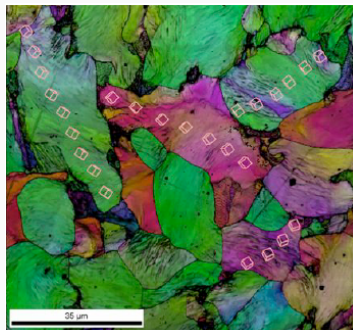


Lignes de Kikuchi

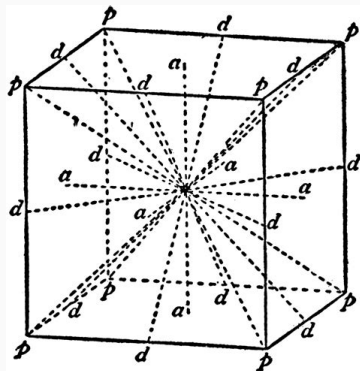


EBSD mapping of misorientation in ferritic steel

Segmentation des grains

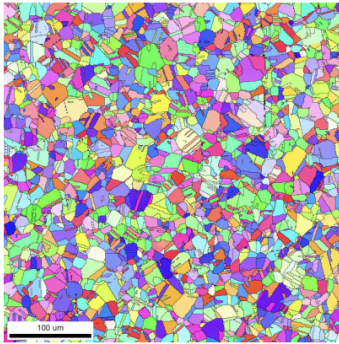


Gradient d'orientation



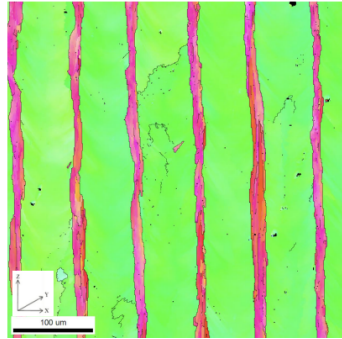
Symétries du cube

Exemple: Dans l'industrie



Images par diffraction d'électrons rétrodiffusés d'un échantillon d'acier forgé.

EBSD Acier forgé



Images par diffraction d'électrons rétrodiffusés d'un échantillon d'acier en fabrication additive par LPB-F.

EBSD Acier fabrication additive LPB-F

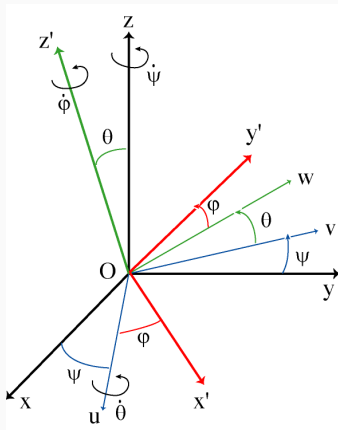
Introduction

Orientation cristalline et EBSD

Les outils mathématiques

Implémentation

Les angles d'Euler



Succession de trois rotations :

$$Oxyz \xrightarrow{\psi} Ouvz$$

$$Ouvz \xrightarrow{\theta} Owz'$$

$$Owz' \xrightarrow{\phi} Ox'y'z'$$

Remarque

$$(\psi, \theta, \phi) \in [0; 2\pi[\times [0; \pi[\times [0; 2\pi[.$$

Attention

La rotation est passive par convention, la rotation active correspondante est donc

$$(-\phi, -\theta, -\psi).$$

Matrices de rotation

$$\begin{pmatrix} x \\ y \\ z \end{pmatrix} = A \begin{pmatrix} x' \\ y' \\ z' \end{pmatrix} \text{ et } \begin{pmatrix} x' \\ y' \\ z' \end{pmatrix} = A^T \begin{pmatrix} x \\ y \\ z \end{pmatrix}$$

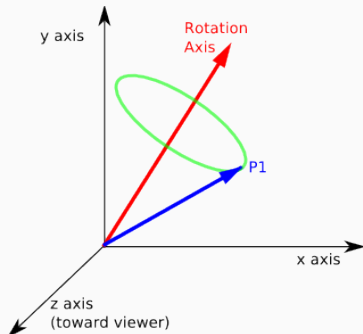
avec

$$A = \begin{pmatrix} \cos(\psi) \cos(\phi) - \sin(\psi) \cos(\theta) \sin(\phi) & -\cos(\psi) \sin(\phi) - \sin(\psi) \cos(\theta) \cos(\phi) & \sin(\psi) \sin(\theta) \\ \sin(\psi) \cos(\phi) + \cos(\psi) \cos(\theta) \sin(\phi) & -\sin(\psi) \sin(\phi) + \cos(\psi) \cos(\theta) \cos(\phi) & -\cos(\psi) \sin(\theta) \\ \sin(\theta) \sin(\phi) & \sin(\theta) \cos(\phi) & \cos(\theta) \end{pmatrix}$$

,

$$A \in \mathcal{SO}_3(\mathbb{R})$$

Représentation axe-angle



Rotation caractérisée par un couple $(\mathbf{n}, \omega) \in \mathbb{R}^3 \times [0; \pi]$ avec \mathbf{n} unitaire.

Convention

Une rotation donnée par (\mathbf{n}, ω) avec $\omega \in]\pi; 2\pi[$ est donc représentée en réalité par $(-\mathbf{n}, 2\pi - \omega)$.

Les quaternions

Définition

L'ensemble \mathbb{H} des quaternions est une \mathbb{R} -algèbre de dimension 4 contenant \mathbb{C} . On note généralement sa base canonique $(1, i, j, k)$. On a comme relations fondamentales $i^2 = j^2 = k^2 = ijk = -1$.

Remarque

Le produit n'est pas commutatif sur \mathbb{H} , par exemple on a $ij = -ji = k$.

Définition

Le conjugué q^* d'un quaternion $q = q_0 + q_1i + q_2j + q_3k$ est défini par $q^* = q_0 - q_1i - q_2j - q_3k$.

Définition

La norme d'un quaternion $q = q_0 + q_1i + q_2j + q_3k$ est donnée par $\|q\| = \sqrt{q_0^2 + q_1^2 + q_2^2 + q_3^2}$. Si $\|q\| = 1$, on dit que q est unitaire.

Propriété

Si q est unitaire, $q = \cos(\frac{\omega}{2}) + \sin(\frac{\omega}{2})(n_1i + n_2j + n_3k)$ où $\mathbf{n} = (n_1, n_2, n_3)$ est un vecteur unitaire. On retrouve la représentation axe-angle.

Lien entre quaternions et représentation axe-angle

Remarque

La convention $\omega \in [0; \pi]$ légitime de prendre la partie réelle positive, q et $-q$ représentant la même rotation. On définit alors

$$\mathcal{H}_+ = \{q \in \mathbb{H} \mid \|q\| = 1, q_0 \geq 0\}.$$

Propriété

$(\mathbf{n}, \omega) \in S_1 \times [0; \pi] \mapsto \cos(\frac{\omega}{2}) + \sin(\frac{\omega}{2})(n_1i + n_2j + n_3k) \in \mathcal{H}_+$ est un isomorphisme de groupe.

Intérêt des quaternions

Loi de composition pour la représentation axe-angle :

$(\mathbf{u}, \omega) \circ (\mathbf{v}, \phi) = (\mathbf{n}, \theta)$ avec :

$$n_1 = \frac{\cos(\frac{\phi}{2}) \sin(\frac{\omega}{2}) v_1 + \cos(\frac{\omega}{2}) \sin(\frac{\phi}{2}) u_1 + \sin(\frac{\phi}{2}) \sin(\frac{\omega}{2}) (\mathbf{u} \times \mathbf{v})_1}{\sqrt{1 - (\cos(\frac{\phi}{2}) \cos(\frac{\omega}{2}) - \sin(\frac{\phi}{2}) \sin(\frac{\omega}{2}) \mathbf{u} \cdot \mathbf{v})^2}}$$

$$n_2 = \frac{\cos(\frac{\phi}{2}) \sin(\frac{\omega}{2}) v_2 + \cos(\frac{\omega}{2}) \sin(\frac{\phi}{2}) u_2 + \sin(\frac{\phi}{2}) \sin(\frac{\omega}{2}) (\mathbf{u} \times \mathbf{v})_2}{\sqrt{1 - (\cos(\frac{\phi}{2}) \cos(\frac{\omega}{2}) - \sin(\frac{\phi}{2}) \sin(\frac{\omega}{2}) \mathbf{u} \cdot \mathbf{v})^2}}$$

$$n_3 = \frac{\cos(\frac{\phi}{2}) \sin(\frac{\omega}{2}) v_3 + \cos(\frac{\omega}{2}) \sin(\frac{\phi}{2}) u_3 + \sin(\frac{\phi}{2}) \sin(\frac{\omega}{2}) (\mathbf{u} \times \mathbf{v})_3}{\sqrt{1 - (\cos(\frac{\phi}{2}) \cos(\frac{\omega}{2}) - \sin(\frac{\phi}{2}) \sin(\frac{\omega}{2}) \mathbf{u} \cdot \mathbf{v})^2}}$$

$$\theta = 2 \arccos(\cos(\frac{\phi}{2}) \cos(\frac{\omega}{2}) - \sin(\frac{\phi}{2}) \sin(\frac{\omega}{2}) \mathbf{u} \cdot \mathbf{v})$$

Introduction

Orientation cristalline et EBSD

Les outils mathématiques

Implémentation

Calculs EBSD : classe **OimScan**

- **OimScan** utilise la fonction **segment grains**, qui identifie les différents grains cristallographique selon la désorientation entre eux
- **segment grains** a besoin de calculer les désorientations entre tout les points de la cartographie, tenant compte des symétries : elle appelle la fonction **disorientation** de la classe **Orientation**
C'est la fonction que l'on va chercher à optimiser

Code d'origine

```
class Orientation:
    def disorientation(self, orientation, crystal_structure=Symmetry.triclinic):
        the_angle = np.pi
        the_axis = np.array([0., 0., 1.])
        the_axis_xyz = np.array([0., 0., 1.])
        symmetries = crystal_structure.symmetry_operators()
        (gA, gB) = (self.orientation_matrix(), orientation.orientation_matrix()) # nicknames
        for (g1, g2) in [(gA, gB), (gB, gA)]:
            for j in range(symmetries.shape[0]):
                sym_j = symmetries[j]
                oj = np.dot(sym_j, g1) # the crystal symmetry operator is left applied
                for i in range(symmetries.shape[0]):
                    sym_i = symmetries[i]
                    oi = np.dot(sym_i, g2)
                    delta = np.dot([oi, oj.T])
                    mis_angle = Orientation.misorientation_angle_from_delta(delta)
                    if mis_angle < the_angle:
                        # now compute the misorientation axis, should check if it lies in the fundamental zone
                        mis_axis = Orientation.misorientation_axis_from_delta(delta)
                        # here we have np.dot(oi.T, mis_axis) = np.dot(oj.T, mis_axis)
                        # print(mis_axis, mis_angle*180/np.pi, np.dot(oj.T, mis_axis))
                        the_angle = mis_angle
                        the_axis = mis_axis
                        the_axis_xyz = np.dot(oi.T, the_axis)
        return the_angle, the_axis, the_axis_xyz
```

Fonction disorientation avec matrices

```
def symmetry_operators(self, use_miller_bravais=False):
    """Define the equivalent crystal symmetries.

    Those come from Randle & Engler, 2000. For instance in the cubic
    crystal struture, for instance there are 24 equivalent cube orientations.

    :return array: A numpy array of shape (n, 3, 3) where n is the \
    number of symmetries of the given crystal structure.
    """
    if self is Symmetry.cubic:
        sym = np.zeros((24, 3, 3), dtype=float)
        sym[0] = np.array([[1., 0., 0.], [0., 1., 0.], [0., 0., 1.]])
        sym[1] = np.array([[0., 0., -1.], [0., -1., 0.], [-1., 0., 0.]])
        sym[2] = np.array([[0., 0., -1.], [0., 1., 0.], [1., 0., 0.]])
        sym[3] = np.array([[ -1., 0., 0.], [0., 1., 0.], [0., 0., -1.]])
        sym[4] = np.array([[0., 0., 1.], [0., 1., 0.], [-1., 0., 0.]])
        sym[5] = np.array([[1., 0., 0.], [0., 0., -1.], [0., 1., 0.]])
        sym[6] = np.array([[1., 0., 0.], [0., -1., 0.], [0., 0., -1.]])
        sym[7] = np.array([[1., 0., 0.], [0., 0., 1.], [0., -1., 0.]])
        sym[8] = np.array([[0., -1., 0.], [1., 0., 0.], [0., 0., 1.]])
        sym[9] = np.array([[ -1., 0., 0.], [0., -1., 0.], [0., 0., 1.]])
        sym[10] = np.array([[0., 1., 0.], [-1., 0., 0.], [0., 0., 1.]])
        sym[11] = np.array([[0., 0., 1.], [1., 0., 0.], [0., 1., 0.]])
        sym[12] = np.array([[0., 1., 0.], [0., 0., 1.], [1., 0., 0.]])
        sym[13] = np.array([[0., 0., -1.], [-1., 0., 0.], [0., 1., 0.]])
        sym[14] = np.array([[0., -1., 0.], [0., 0., 1.], [-1., 0., 0.]])
        sym[15] = np.array([[0., 1., 0.], [0., 0., -1.], [-1., 0., 0.]])
        sym[16] = np.array([[0., 0., -1.], [1., 0., 0.], [0., -1., 0.]])
        sym[17] = np.array([[0., 0., 1.], [-1., 0., 0.], [0., -1., 0.]])
        sym[18] = np.array([[0., -1., 0.], [0., 0., -1.], [1., 0., 0.]])
        sym[19] = np.array([[0., 1., 0.], [1., 0., 0.], [0., 0., -1.]])
        sym[20] = np.array([[ -1., 0., 0.], [0., 0., 1.], [0., 1., 0.]])
        sym[21] = np.array([[0., 0., 1.], [0., -1., 0.], [1., 0., 0.]])
        sym[22] = np.array([[0., -1., 0.], [-1., 0., 0.], [0., 0., -1.]])
        sym[23] = np.array([[ -1., 0., 0.], [0., 0., -1.], [0., -1., 0.]])
```

Exemple des opérateurs de symétrie dans le cas cubique

Intérêt des quaternions

Le calcul matriciel est lourd informatiquement : le produit matriciel nécessite beaucoup d'opérations

Le passage en quaternion permet de réduire le calcul au produit de quaternion et l'inversion à la conjugaison du quaternion

```
#Product of to 'normal' quaternions
def Q_product(q1, q2) :
    r0 = q1[0]*q2[0] - q1[1]*q2[1] - q1[2]*q2[2] - q1[3]*q2[3]
    r1 = q1[0]*q2[1] + q1[1]*q2[0] + q1[2]*q2[3] - q1[3]*q2[2]
    r2 = q1[0]*q2[2] - q1[1]*q2[3] + q1[2]*q2[0] + q1[3]*q2[1]
    r3 = q1[0]*q2[3] + q1[1]*q2[2] - q1[2]*q2[1] + q1[3]*q2[0]
    return np.array([r0, r1, r2, r3])
```

Fonction de calcul du produit de 2 quaternions

Conversion entre représentations des désorientations

```
def qu2ax_angle(q):
    q0 = q[:, 0]
    angle = 2*np.arccos(np.clip(q0, epsilon, 1 - epsilon))
    return angle

def qu2ax_axis(q):
    q0, q1, q2, q3 = q[:, 0], q[:, 1], q[:, 2], q[:, 3]
    axis = np.array([x for x in zip(q1, q2, q3)])

    n = len(q0)
    ax_array = np.zeros((n, 3))

    angle0_ind = np.where(q0 >= 1 - epsilon)
    ax_array[angle0_ind] = np.array([[0, 0, 1]]*len(angle0_ind))

    q00_ind = np.where(q0 <= epsilon)
    ax_array[q00_ind] = axis[q00_ind]

    others_ind = np.where(np.logical_and((q0 < 1 - epsilon), (q0 > epsilon)))
    s = np.sign(q0[others_ind])/np.linalg.norm(axis[others_ind], axis=1)
    ax_array[others_ind] = np.multiply(s[:, np.newaxis], axis[others_ind])

    return ax_array

def qu2ax_vect(q):
    angle = qu2ax_angle(q)
    axis = qu2ax_axis(q)
    return np.column_stack((axis, angle))
```

Fonction de passage de la représentation avec les quaternions (qu) à la représentation axes/angles (ax)

Passage du code avec les quaternions

Il faut commencer par convertir en quaternions les opérateurs de symétrie :

```
"""
Defining the symetry operators in quaternions
"""

Q_cubic = np.zeros((24, 4), dtype=float)
Q_cubic[0] = om2qu(np.array([[1., 0., 0.], [0., 1., 0.], [0., 0., 1.]))) #ok
Q_cubic[1] = om2qu(np.array([[0., 0., -1.], [0., -1., 0.], [-1., 0., 0.]))) #ok
Q_cubic[2] = om2qu(np.array([[0., 0., -1.], [0., 1., 0.], [1., 0., 0.]))) #ok
Q_cubic[3] = om2qu(np.array([[ -1., 0., 0.], [0., 1., 0.], [0., 0., -1.]))) #ok
Q_cubic[4] = om2qu(np.array([[0., 0., 1.], [0., 1., 0.], [-1., 0., 0.]))) #ok
Q_cubic[5] = om2qu(np.array([[1., 0., 0.], [0., 0., -1.], [0., 1., 0.]))) #ok
Q_cubic[6] = om2qu(np.array([[1., 0., 0.], [0., -1., 0.], [0., 0., -1.]))) #ok
Q_cubic[7] = om2qu(np.array([[1., 0., 0.], [0., 0., 1.], [0., -1., 0.]))) #ok
Q_cubic[8] = om2qu(np.array([[0., -1., 0.], [1., 0., 0.], [0., 0., 1.]))) #ok
Q_cubic[9] = om2qu(np.array([[ -1., 0., 0.], [0., -1., 0.], [0., 0., 1.]))) #ok
Q_cubic[10] = om2qu(np.array([[0., 1., 0.], [-1., 0., 0.], [0., 0., 1.]))) #ok
Q_cubic[11] = om2qu(np.array([[0., 0., 1.], [1., 0., 0.], [0., 1., 0.]))) #ok
Q_cubic[12] = om2qu(np.array([[0., 1., 0.], [0., 0., 1.], [1., 0., 0.]))) #ok
Q_cubic[13] = om2qu(np.array([[0., 0., -1.], [-1., 0., 0.], [0., 1., 0.]))) #ok
Q_cubic[14] = om2qu(np.array([[0., -1., 0.], [0., 0., 1.], [-1., 0., 0.]))) #ok
Q_cubic[15] = om2qu(np.array([[0., 1., 0.], [0., 0., -1.], [-1., 0., 0.]))) #ok
Q_cubic[16] = om2qu(np.array([[0., 0., -1.], [1., 0., 0.], [0., -1., 0.]))) #ok
Q_cubic[17] = om2qu(np.array([[0., 0., 1.], [-1., 0., 0.], [0., -1., 0.]))) #ok
Q_cubic[18] = om2qu(np.array([[0., -1., 0.], [0., 0., -1.], [1., 0., 0.]))) #ok
Q_cubic[19] = om2qu(np.array([[0., 1., 0.], [1., 0., 0.], [0., 0., -1.]))) #ok
Q_cubic[20] = om2qu(np.array([[ -1., 0., 0.], [0., 0., 1.], [0., 1., 0.]))) #ok
Q_cubic[21] = om2qu(np.array([[0., 0., 1.], [0., -1., 0.], [1., 0., 0.]))) #ok
Q_cubic[22] = om2qu(np.array([[0., -1., 0.], [-1., 0., 0.], [0., 0., -1.]))) #ok
Q_cubic[23] = om2qu(np.array([[ -1., 0., 0.], [0., 0., -1.], [0., -1., 0.]))) #ok
```

Passage du code avec les quaternions

On commence par modifier le code existant en remplaçant simplement les opérations matricielles par leur homologue en quaternion

```
586 def Q_disorientation(self, orientation, crystal_structure=Symmetry.triclinic):
587
588     the_angle = np.pi
589     symmetries = crystal_structure.Q_symmetry_operators()
590     (Q_gA, Q_gB) = (self.quaternion(), orientation.quaternion()) # nicknames
591     for (Q_g1, Q_g2) in [(Q_gA, Q_gB), (Q_gB, Q_gA)]:
592         for j in range(symmetries.shape[0]):
593             sym_j = symmetries[j]
594             oj = Q_product(Q_g1, sym_j) # the crystal symmetry operator is left applied
595             for i in range(symmetries.shape[0]):
596                 sym_i = symmetries[i]
597                 oi = Q_product(Q_g2, sym_i)
598                 delta = qu2om(Q_product(Q_conjugate(oj), oi))
599                 mis_angle = Orientation.misorientation_angle_from_delta(delta)
600                 if mis_angle < the_angle:
601                     # now compute the misorientation axis, should check if it lies in the fundamental zone
602                     mis_axis = Orientation.misorientation_axis_from_delta(delta)
603                     # here we have np.dot(oi.T, mis_axis) = np.dot(oj.T, mis_axis)
604                     print(mis_axis, mis_angle*180/np.pi, np.dot(oj.T, mis_axis))
605                     the_angle = mis_angle
606                     the_axis = mis_axis
607                     the_axis_xyz = np.dot((qu2om(oi)).T, the_axis)
608             return the_angle, the_axis, the_axis_xyz
609
```

Passage du code avec les quaternions

Problèmes

Plusieurs problèmes sont alors apparus :

- Le code ne renvoyait plus les bons résultats :
Problèmes dans une fonction de conversion
Problème de signe dans la fonction produit

- Le code est ralenti ! Sur un même exemple :
Avec les matrices de rotation : 1min 48s

```
scan.segment_grains(tol=5., min_ci=0.0)
✓ 1m48.6s

grain segmentation for EBSD scan, misorientation tolerance=5.0, minimum confidence index=0.0
segmentation progress: 100.00 %
23 grains were segmented

array([[ 1,  1,  1, ..., 19, 19, 19],
       [ 1,  1,  1, ..., 19, 19, 19],
       [ 1,  1,  1, ..., 19, 19, 19],
       ...,
       [ 3,  3,  3, ..., 22, 22, 22],
       [ 3,  3,  3, ..., 22, 22, 22],
       [ 3,  3,  3, ..., 22, 22, 22]])
```

Avec les quaternions : 4min 21s

```
scan.segment_grains(tol=5., min_ci=0.0)
✓ 4m21.2s

grain segmentation for EBSD scan, misorientation tolerance=5.0, minimum confidence index=0.0
segmentation progress: 100.00 %
23 grains were segmented

array([[ 1,  1,  1, ..., 19, 19, 19],
       [ 1,  1,  1, ..., 19, 19, 19],
       [ 1,  1,  1, ..., 19, 19, 19],
       ...,
       [ 3,  3,  3, ..., 22, 22, 22],
       [ 3,  3,  3, ..., 22, 22, 22],
       [ 3,  3,  3, ..., 22, 22, 22]])
```

Vectorisation du code

Pour tenter d'accélérer le code, il faut maintenant tirer partie des quaternions pour vectoriser massivement les calculs de produit. On commence par vectoriser la fonction de calcul du produit et du conjugué

```
#Vectorized product of to arrays of quatenions, of the same size
def Q_product_vect(q1,q2) :
    r = np.empty((q1.shape[0], 4))
    r[:,0] = q1[:,0]*q2[:,0] - q1[:,1]*q2[:,1] - q1[:,2]*q2[:,2] - q1[:,3]*q2[:,3]
    r[:,1] = q1[:,0]*q2[:,1] + q1[:,1]*q2[:,0] + q1[:,2]*q2[:,3] - q1[:,3]*q2[:,2]
    r[:,2] = q1[:,0]*q2[:,2] - q1[:,1]*q2[:,3] + q1[:,2]*q2[:,0] + q1[:,3]*q2[:,1]
    r[:,3] = q1[:,0]*q2[:,3] + q1[:,1]*q2[:,2] - q1[:,2]*q2[:,1] + q1[:,3]*q2[:,0]
    return r
```

Calcul vectorisé du produit de quaternions

```
def Q_conjugate_vect(q):
    r = np.empty((q.shape[0], 4))
    r[:,0] = q[:,0]
    r[:,1] = -q[:,1]
    r[:,2] = -q[:,2]
    r[:,3] = -q[:,3]
    return r
```

Calcul vectorisé de la conjugaison de quaternion

Vectorisation du code

On peut maintenant vectoriser la fonction disorientation, qui devient beaucoup plus compacte :

```
624 def Q_disorientation_vect_bis(self, orientation, crystal_structure=Symmetry.triclinic):
625     the_angle = np.pi
626     symmetries = crystal_structure.Q_symmetry_operators()
627     (Q_gA, Q_gB) = (self.quaternion(), orientation.quaternion())
628     oj = Q_product_semivect_left(Q_gA, symmetries) #crystal symetry operators are left applied
629     oi = Q_product_semivect_left(Q_gB, symmetries)
630     mis_angles = qu2ax_angle(Q_product_vect(Q_conjugate_vect(oj), oi)) #compute the misorientation angle
631     the_angle = np.min(mis_angles) #take the minimum to have the final misorientation angle
632     the_axis = None #there is no need to compute the_axis and the_axis_xyz in segment_grains|
633     the_axis_xyz = None
634     return the_angle, the_axis, the_axis_xyz
635
636
```

Fonction disorientation vectorisée

Résultats - Code d'origine

```
scan.segment_grains(tol=5., min_ci=0.0)
```

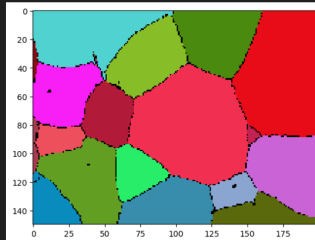
✓ 1m 48.6s

grain segmentation for EBSD scan, misorientation tolerance=5.0, minimum confidence index=0.0
segmentation progress: 100.00 %
23 grains were segmented

```
array([[ 1,  1,  1, ..., 19, 19, 19],  
       [ 1,  1,  1, ..., 19, 19, 19],  
       [ 1,  1,  1, ..., 19, 19, 19],  
       ...,  
       [ 3,  3,  3, ..., 22, 22, 22],  
       [ 3,  3,  3, ..., 22, 22, 22],  
       [ 3,  3,  3, ..., 22, 22, 22]])
```

```
# plot the segmented grain structure using a random color map: each color represents a grain  
rand_cmap = Microstructure.rand_cmap(first_is_black=True)  
plt.imshow(scan.grain_ids.T, cmap=rand_cmap, interpolation='nearest')  
plt.show()
```

✓ 0.1s



Code d'origine

Résultats - Code vectorisé

```
scan.segment_grains(tol=5., min_ci=0.0)
```

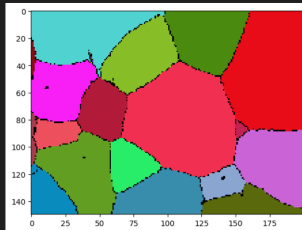
```
✓ 11.0s
```

grain segmentation for EBSD scan, misorientation tolerance=5.0, minimum confidence index=0.0
segmentation progress: 100.00 %
23 grains were segmented

```
array([[ 1,  1,  1, ..., 19, 19, 19],  
       [ 1,  1,  1, ..., 19, 19, 19],  
       [ 1,  1,  1, ..., 19, 19, 19],  
       ...,  
       [ 3,  3,  3, ..., 22, 22, 22],  
       [ 3,  3,  3, ..., 22, 22, 22],  
       [ 3,  3,  3, ..., 22, 22, 22]])
```

```
# plot the segmented grain structure using a random color map: each color represents a grain  
rand_cmap = Microstructure.rand_cmap(first_is_black=True)  
plt.imshow(scan.grain_ids.T, cmap=rand_cmap, interpolation='nearest')  
plt.show()
```

```
✓ 0.1s
```



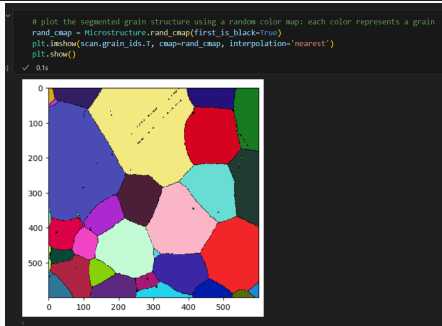
Code vectorisé

Résultats - exemple plus grand

```
scan.segment_grains(tol=5., min_ci=0.0)
✓ 23m 26.3s

grain segmentation for EBSD scan, misorientation tolerance=5.0, minimum confidence index=0.0
C:\Users\esteb\Desktop\Projet info S2\pymicro\pymicro\crystal\microstructure.py:500: RuntimeWarning: invalid value en
n /= np.sqrt((delta[1, 2] - delta[2, 1]) ** 2 +
segmentation progress: 100.00 %
135 grains were segmented

array([[ 1,  1,  1, ..., 124, 124, 124],
       [ 1,  1,  1, ..., 124, 124, 124],
       [ 1,  1,  1, ..., 124, 124, 124],
       ...,
       [ 5,  5,  5, ..., 133, 133, 133],
       [ 5,  5,  5, ..., 133, 133, 133],
       [ 5,  5,  5, ..., 133, 133, 133]])
```



Test avec un exemple plus grand

Résultats - exemple plus grand

```
scan.segment_grains(tol=5., min_ci=0.0)
```

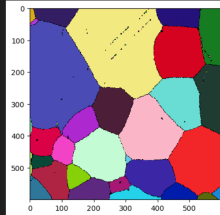
✓ 4m 20.7s

grain segmentation for EBSD scan, misorientation tolerance=5.0, minimum confidence index=0.0
segmentation progress: 100.00 %
135 grains were segmented

```
array([[ 1,  1,  1, ..., 124, 124, 124],  
       [ 1,  1,  1, ..., 124, 124, 124],  
       [ 1,  1,  1, ..., 124, 124, 124],  
       ...,  
       [ 5,  5,  5, ..., 133, 133, 133],  
       [ 5,  5,  5, ..., 133, 133, 133],  
       [ 5,  5,  5, ..., 133, 133, 133]])
```

```
# plot the segmented grain structure using a random color map: each color represents a grain  
rand_cmap = Microstructure.rand_cmap(first_is_black=True)  
plt.imshow(scan.grain_ids.T, cmap=rand_cmap, interpolation='nearest')  
plt.show()
```

✓ 0.1s



Test avec un exemple plus grand

Conclusion

- Le passage en quaternions permet de rendre le code :
 - Plus simple
 - Plus rapide d'un facteur 6 à 8
- Cependant, il reste encore quelques zones d'ombre et du travail de débogage et de test.
- L'utilisation des quaternions est donc une piste très intéressante d'accélération des calculs dans pymicro, qui pourra être généralisée à d'autres fonctions de la librairie pour se passer au maximum des matrices de rotation.